

09

© 1992

РЕЗУЛЬТАТЫ ЭКСПЕРИМЕНТАЛЬНЫХ ИССЛЕДОВАНИЙ
НЕЛИНЕЙНОГО ВЗАИМОДЕЙСТВИЯ МОШНЫХ
КВ - СИГНАЛОВ В ИОНОСФЕРНОЙ ПЛАЗМЕ

С.А. Дмитриев, Ю.А. Игнатьев,
Г.С. Коротина, П.Б. Шавин, Ю.Я. Яшин

В результате теоретических исследований (см., например, [1-3]) установлено, что нелинейное взаимодействие двух электромагнитных волн в плазме может приводить к генерации плазменной волны в области пространственного синхронизма с достаточно высоким коэффициентом возбуждения. Характеристики электромагнитных и плазменных волн, участвующих в таком взаимодействии, зависят как от параметров волн, так и от состояния плазмы, в которой происходит взаимодействие волн. Это позволяет использовать анализ соответствующих характеристик взаимодействующих электромагнитных волн на частотах f_1 и f_2 для диагностики параметров неоднородной плазмы [4]. Аналогичный подход может быть применен и при анализе нелинейного взаимодействия электромагнитных волн в ионосферной плазме. Диагностика взаимодействия волн в ионосфере может осуществляться и по относительному изменению величин амплитуд возбуждающих электромагнитных волн и по анализу параметров волн комбинационных частот, которые могут генерироваться при взаимодействии мощных волн с ионосферной плазмой.

Именно экспериментальному исследованию нелинейного взаимодействия мощных радиоволн с ионосферой посвящена данная работа. Отличительной особенностью ионосферной плазмы является существенная неоднородность электронной концентрации по высоте с максимальной плазменной частотой $f_o F2$, называемой критической частотой слоя $F2$. В отличие от работ [5-6], где рассматривалось взаимодействие в ионосфере высокочастотных волн ($f_1, f_2 \gg f_o F2$), здесь анализируется взаимодействие радиоволн КВ - диапазона, когда f_1 и f_2 порядка критической частоты. Эксперименты проводились в ночное время суток с 21.00 МЛВ 28.05.91 г. до 09.00 29.05.91 г. и в течение суток с 09.00 29.08.91 г. по следующей методике. Экспериментальный стенд НИРФИ „Сура” для исследования взаимодействия мощного радиоизлучения с ионосферной плазмой [7] излучал вертикально две электромагнитные волны обыкновенной поляризации на частотах f_1 и f_2 . На частоте f_1 стенд работал в пятиминутном режиме (2 мин – работа, 3 мин – пауза) с излучаемой мощностью $P=500$ КВт, на частоте f_2 стенд работал в двадцатиминутном режиме (15 мин – работа, 5 мин – пауза) с мощностью $P=10, 50, 250$ КВт, меняемой через каждые 20 мин в течение часа соответственно. На рис. 1 приведено расписание работы стендса

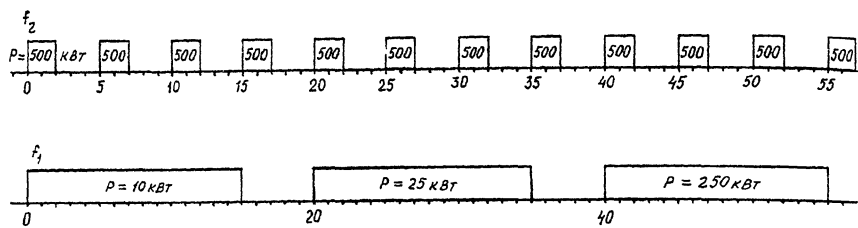


Рис. 1. Расписание работы стенда „Сура” на частотах f_1 и f_2 ; P - мощность передатчика.

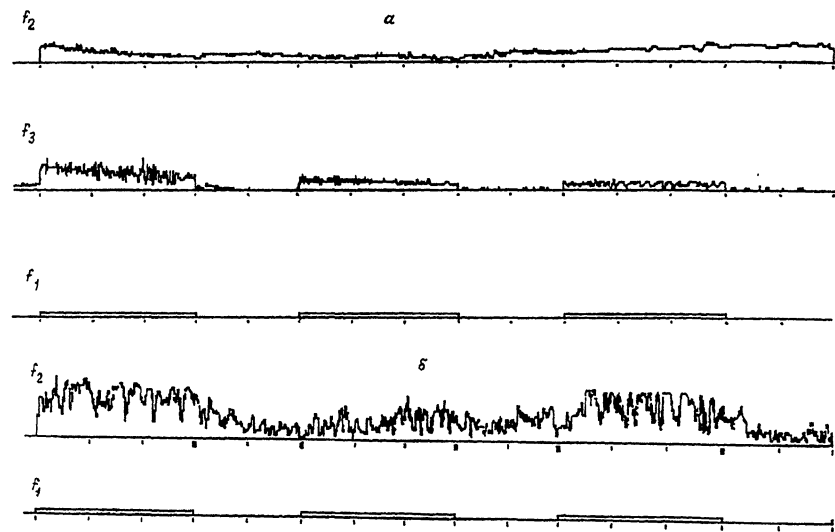


Рис. 2. Временная зависимость амплитуды сигнала на частотах
а - f_2 , f_3 ; б - f_2 и интервалы работы передатчика на частоте
 f_1 .

"Сура" на частотах f_1 и f_2 . За время проведения экспериментов выбирались следующие пары взаимодействующих частот: $f_1 = 9.31$ и $f_2 = 4.785 \text{ МГц}$; $f_1 = 9.31$ и $f_2 = 5.825 \text{ МГц}$ $f_1 = 7.815$ и $f_2 = 4.785 \text{ МГц}$.

Регистрация сигналов на частотах f_1 , f_2 и $f_3 = f_1 - f_2$ осуществлялась на специализированном приемо-регистрирующем комплексе с полосой приемника порядка 5 КГц в пункте, расположенном на расстоянии 110 км к западу от стенда "Сура". Приемная антenna представляла собой широкополосный квадрат с центром ле-

Таблица

1 сеанс	2 сеанс	3 сеанс	4 сеанс	5 сеанс	6 сеанс	7 сеанс
Р	П	Р	П	Р	П	Р
2.47	1.32	4.32	1.4	5.29	1.33	3.86
1.28						
7.49						
1.83						
6.87						
2.5						
6.16						
2.74						

пестка диаграммы направленности, направленным в зенит, и полушириной порядка 40° . Ионосферная обстановка в приемном пункте контролировалась с помощью автоматической ионосферной станции, снимающей ионограммы вертикального зондирования с периодом в 15 мин.

В экспериментах было обнаружено наличие двух эффектов:

1. Появление сигнала на частоте $f_3 = f_1 - f_2$, амплитуда которого превышала уровень шума на 10–20 дБ только при одновременном излучении частот f_1 и f_2 . В периоды работы стенда "Сура" только на частоте f_1 или f_2 (см. рис. 1) сигнала на частоте f_3 обнаружено не было. На рис. 2, а в качестве примера приведена временная зависимость амплитуды сигнала на частотах f_2 , f_3 и указаны интервалы работы передатчика на частоте f_1 во время сеанса с 6.00 до 9.00 30.08.91 г.

В таблице приведены усредненные за 2 мин значения амплитуд на комбинационной частоте $f_3 = f_1 - f_2 = 4.525$ МГц в течение последовательных 7 сеансов одновременной работы мощного стенда "Сура" на частотах $f_1 = 9.31$ МГц и $f_2 = 4.785$ МГц, и паузы в работе на одной из частот (Р – работа, П – пауза в работе стендса на f_1).

Заметных эффектов (более 0.1 с) развития и релаксации в процессе изменения амплитуды на частоте f_3 замечено не было. В периоды пауз в работе стендса на f_1 в таблице приведены усредненные за 3 мин значения амплитуды шума. Эффект появления сигнала на частоте f_3 при одновременной работе стендса на частотах f_1 и f_2 наблюдался с 23.00 до 01.00 ч в первом цикле и с 06.00 до 09.00 ч во втором цикле наблюдений. В первом случае $f_1 F_2$ падала с 8 до 7.3 МГц, во втором – увеличивалась с 4 до 9.3 МГц. Таким образом, при наблюдении эффекта появления сигнала на частоте f_3 сигналы на частоте $f_1 = 9.31$ МГц проходили через ионосферу без отражения, а сигналы на частоте $f_2 = 4.785$ МГц испытывали полное внутреннее отражение в ионосфере.

2. Увеличение амплитуды отраженного от ионосферы сигнала на частоте $f_2 = 4.785$ МГц при включении сигнала на другой взаимодействующей частоте $f_1 = 7.815$ МГц на величину 3–10 дБ с последующим уменьшением при выключении работы стендса на частоте f_1 . Время развития и последующей релаксации эффекта доходило до 1 мин. Этот эффект наблюдался 29.08.91 г. в период с 17.00 до 18.00 ч МДВ (критическая частота $f_1 F_2$ в этот период менялась от 9.1 МГц до 7.5 МГц), когда оба сигнала f_1 и f_2 отражались от ионосферы. На рис. 2, б в качестве примера приведена

временная зависимость амплитуды сигнала на частоте f_2 и указаны интервалы работы передатчика на частоте f_1 . Причем подобный эффект наблюдался и на другой паре частот $f_1 = 9.31$ МГц, $f_2 = -5.825$ МГц с 11.00 до 16.00 29.08.91 г. (критическая частота F2 слоя менялась от 10.8 Мгц до 9.5 Мгц). Зависимости от мощности, излучаемой на частоте f_2 , обнаружено не было как в одном эффекте, так и в другом.

Выводы

1. Появление сигнала на разностной частоте $f_3 = f_1 - f_2$ наблюдается в то время, когда волна более высокой частоты f_1 проходит сквозь ионосферу без отражения, а волна f_2 — отражается.

2. Возрастание амплитуды сигнала f_2 во время работы передатчика на частоте f_1 и соответственно уменьшение амплитуды сигнала f_2 при выключении передатчика на частоте f_1 наблюдается тогда, когда обе волны f_1 и f_2 отражаются в ионосферном слое.

3. Первый эффект не имеет времени запаздывания. У второго эффекта время запаздывания 1 мин.

4. При наблюдаемом взаимодействии, по-видимому, энергетический эффект обусловлен перекачкой энергии от волны на более высокой частоте f_1 в волну на разностной частоте f_3 и волну на нижней частоте f_2 . Поэтому зависимости от мощности передатчика, работающего на частоте f_2 , ни для первого, ни для второго эффектов не наблюдалось.

Список литературы

- [1] Цитович В.Н. Нелинейные эффекты в плазме. М.: Наука, 1967. С. 250.
- [2] Заславский Г.М., Мейтис В.П., Филоненко Н.Н. Взаимодействие волн в неоднородных средах. Новосибирск: Наука, 1982.
- [3] Виноградов М.В., Руденко О.В., Сухоруков А.П. Теория волн. М.: Наука, 1979. С. 383.
- [4] Урусова Н.А., Файнштейн С.М., Яшин Ю.Я. // Физика плазмы. 1990. Т. 16. С. 238.
- [5] Новожилов В.И., Вергасов А.А., Трубачев С.И. // Геомагнетизм и аэрономия. 1984. Т. 24. С. 930.
- [6] Карлов В.Д., Трубачев С.И. // Волновые возмущения в ионосфере. Алма-Ата: Наука, 1987. С. 95.
- [7] Белов И.Ф., Бычков В.В., Гетманцев Г.Г. и др. Препринт 167. Горький: НИРФИ, 1983.

Поступило в Редакцию
27 января 1992 г.